



Министерство науки и высшего образования Российской Федерации
федеральное государственное бюджетное образовательное учреждение
высшего профессионального образования
«Московский государственный технический университет имени
Н.Э. Баумана (национальный исследовательский университет)»
(МГТУ им. Н.Э. Баумана)

ФАКУЛЬТЕТ «Робототехники и комплексной автоматизации»
КАФЕДРА «Системы автоматизированного проектирования (РК-6)»

ОТЧЕТ О ВЫПОЛНЕНИИ ЛАБОРАТОРНОЙ РАБОТЫ по дисциплине «Вычислительная математика»

Студент:	Кутепов Никита Сергеевич
Группа:	РК6-55Б
Тип задания:	лабораторная работа
Тема:	Модель биологического нейрона

Студент

подпись, дата

Кутепов Н.С.

Фамилия, И.О.

Преподаватель

подпись, дата

Фамилия, И.О.

Москва, 2021

Содержание

Модель биологического нейрона	3
1 Реализация численных методов решения задачи Коши	5
2 Нахождение и построение траекторий для каждого из реализованных методов, используя разные режимы	8
3 Описание особенностей указанных режимов	10
4 Объяснение отличий и сходств у реализованных методов	11
5 Интегрирование во времени до 1000 мс нейронной сети с помощью метода Эйлера, вывод на экран импульсов всех нейронов	12
6 Заключение	14

Модель биологического нейрона

Задание

Численные методы решения задачи Коши для систем обыкновенных дифференциальных уравнений (ОДУ) 1-го порядка активно используются далеко за пределами стандартных инженерных задач. Примером области, где подобные численные методы крайне востребованы, является нейробиология, где открытые в XX веке модели биологических нейронов выражаются через дифференциальные уравнения 1-го порядка. Математическая формализация моделей биологических нейронов также привлекла появлению наиболее реалистичных архитектур нейронных сетей, известных как спайковые нейронные сети (Spiking Neural Networks). В данной лабораторной работе мы исследуем одну из простейших моделей подобного типа: модель Ижикевича.

Задача 20 (Модель Ижикевича) Дана система из двух ОДУ 1-го порядка:

$$\begin{cases} \frac{dv}{dt} = 0.04^2 + 5v + 140 + u + I, \\ \frac{du}{dt} = a(bv - u); \end{cases} \quad (1)$$

и дополнительного условия, определяющего возникновение импульса в нейроне:

если $v \geq 30$,

$$\begin{cases} v \leftarrow c, \\ u \leftarrow u + d; \end{cases} \quad (2)$$

где v – потенциал мембраны (мВ), u – переменная восстановления мембраны (мВ), t – время (мс), I – внешний ток, приходящий через синапс в нейрон от всех нейронов, с которыми он связан.

Описания параметров представленной системы:

a – задает временной масштаб для восстановления мембраны (чем больше a , тем быстрее происходит восстановление после импульса);

b – чувствительность переменной восстановления к флуктуациям разности потенциалов;

Таблица 1. Характерные режимы заданной динамической системы и соответствующие значения ее параметров

Режим	a	b	C	d
Tonic spiking(TS)	0.02	0.2	-65	6
Phasic spiking(PS)	0.02	0.25	-65	6
Chattering(C)	0.02	0.2	-50	2
Fast spiking(FS)	0.1	0.2	-65	2

c – значение потенциала мембраны сразу после импульса; d – значение переменной восстановления мембраны сразу после импульса.

Требуется (базовая часть). 1. Реализовать следующие функции, каждая из которых возвращает дискретную траекторию системы ОДУ с правой частью, заданной функцией f , начальным условием x_0 , шагом по времени h и конечным временем t_n :

–`euler(x_0, t_n, f, h)`, где дискретная траектория строится с помощью метода Эйлера;

–`implicit_euler(x_0, t_n, f, h)`, где дискретная траектория строится с помощью неявного метода Эйлера;

–`runge_kutta(x_0, t_n, f, h)`, где дискретная траектория строится с помощью метода Рунге–Кутты 4-го порядка.

2. Для каждого из реализованных методов численно найти траектории заданной динамической системы, используя шаг $h = 0.5$ и характерные режимы, указанные в таблице 1. В качестве начальных условий можно использовать $v(0) = c$ и $u(0) = du(0)$. Внешний ток принимается равным $I = 5$.

3. Вывести полученные траектории на четырех отдельных графиках как зависимости потенциала мембраны v от времени t , где каждый график должен соответствовать своему характерному режиму работы нейрона.

4. По полученным графикам кратко описать особенности указанных режимов.

Требуется (продвинутая часть).

5. Объяснить, в чем состоят принципиальные отличия реализованных методов? В чем они схожи?

6. Произвести интегрирование во времени до 1000 мс нейронной сети с помощью метода Эйлера, используя следующую информацию.

а) Динамика каждого нейрона в нейронной сети описывается заданной моделью Ижикевича. В нейронной сети имеется 800 возбуждающих нейронов и 200 тормозных. Возбуждающие нейроны имеют следующие значения параметров: $a = 0.02$, $b = 0.02$, $c = -65 + 15\alpha^2$, $d = 8 - 6\beta^2$ и внешний ток в отсутствие токов от других нейронов равен $I = I_0 = 5\epsilon$, где α , β и ϵ – случайные числа от 0 до 1 (распределение равномерное). Тормозные нейроны имеют следующие значения параметров: $a = 0.02 + 0.08\gamma$, $b = 0.25 - 0.05\delta$, $c = -65$, $d = 2$ и внешний ток в отсутствие токов от других нейронов равен $I = I_0 = 2\zeta$, где γ , δ и ζ – случайные числа от 0 до 1. В качестве начальных условий используются значения $v(0) = -65$ и $u(0) = bv(0)$.

б) Нейронная сеть может быть смоделирована с помощью полного графа. Матрица смежности W этого графа описывает значения токов, передаваемых от нейрона к нейрону в случае возникновения импульса. То есть, при возникновении импульса нейрона внешний ток связанного с ним нейрона i одновременно увеличивается на величину W_{ij} и затем сразу же падает до нуля, что и моделирует передачу импульса по нейронной сети. Значение W_{ij} равно 0.5θ , если нейрон j является возбуждающим, и τ , если тормозным, где θ и τ – случайные числа от 0 до 1.

7. Вывести на экран импульсы всех нейронов как функцию времени и определить частоты характерных синхронных (или частично синхронных) колебаний нейронов в сети.

Цель выполнения лабораторной работы

Цель выполнения лабораторной работы – изучение методов численного решения задачи Коши: метод Эйлера, неявный метод Эйлера, метод Рунге-Кутты. Знакомство со спайковой нейронной сетью, а именно с простейшей моделью подобного типа: модель Ижикевича.

Поставленные задачи

1. Реализовать численные методы решения задачи Коши: метод Эйлера, неявный метод Эйлера, метод Рунге-Кутты 4-го порядка.
2. Найти траектории заданной динамической системы для каждого из реализованных методов и вывести полученные траектории как зависимость потенциала мембраны от времени, используя шаг $h = 0.5$, режимы из таблицы 1 с заданными начальными условиями и током $I = 5$.
3. Описать особенности указанных режимов из таблицы 1.
4. Объяснить, в чем состоят принципиальные отличия реализованных методов? В чем они схожи?
5. Произвести интегрирование во времени до 1000 мс нейронной сети с помощью метода Эйлера, вывести на экран импульсы всех нейронов как функцию времени.

1 Реализация численных методов решения задачи Коши

В данной лабораторной работе рассматривает систему ОДУ 1-го порядка 1, разрешенных относительно производной:

$$y^{(n)}(t) = f(t, y, y', \dots, y^{(n)}), t \in [a; b] \quad (3)$$

Для решения ОДУ используются начальные условия задачи Коши, данное ОДУ можно представить в виде системы ОДУ:

$$\frac{d}{dt} \begin{bmatrix} y_1(t) \\ y_2(t) \\ \vdots \\ y_n(t) \end{bmatrix} = \begin{bmatrix} f_1(t, y_1, \dots, y_n) \\ f_2(t, y_2, \dots, y_n) \\ \vdots \\ f_n(t, y_1, \dots, y_n) \end{bmatrix}. \quad (4)$$

или в векторном виде:

$$\frac{dy}{dt} = f(t, y) \quad (5)$$

Рассмотрев ОДУ 5 после разложения в ряд Тейлора можно записать формулировку метода Эйлера [1]:

$$w_0 = \alpha, \quad (6)$$

$$w_{i+1} = w_i + hf(t_i, w_i), i = 0, 1, \dots, m-1, \quad (7)$$

при этом ожидаем, что $w_i \approx y(t_i)$, а $t_i = a + ih$, $i = 0, 1, \dots, m$, $h = \frac{b-a}{m} = t_{i+1} - t_i$. В данном случае, учитывая, что происходит работа с системой ОДУ, представим w как вектор $w_i = [y_1(t_i), y_2(t_i)]$.

Листинг 1. Реализация метода Эйлера.

```

1 def euler(x_0, t_n, f, h, consts):
2     # x_0 - initial conditions v(0) = c, u(0) = bv(0)
3     # f - function of the ODE system
4     # consts - a,b,c,d,l for a specific mode
5     t_0 = 0
6     t_nums = np.arange(t_0, t_n + h, h)
7     # t_nums - generation of t according to the condition of the Euler method
8     y = np.zeros(shape=(len(t_nums), len(x_0)))
9     y[0] = x_0
10
11     for i in range(len(t_nums) - 1):
12         w = y[i]
13         w = w + h * f(w, consts)
14         y[i + 1] = normal(consts, w)
15
16     return t_nums, y

```

Функция `normal(consts, w)` осуществляет определение возникновения импульса в нейроне.

Листинг 2. Реализация функции `normal`

```

1 def normal(consts, values):
2     # consts - a,b,c,d for a specific mode
3     # values - values v, u
4     v, u = values
5     if v >= 30:
6         v = consts['c']
7         u += consts['d']
8
9     return [v, u]

```

При построении неявного метода Эйлера значение функции f берется на новом временном слое, таким образом для нахождения приближенного значения искомой функции на новом временном слое нужно решить нелинейное уравнение относительно $w_{i+1}[2]$.

$$w_{i+1} = w_i + hf(t_i, w_{i+1}), \quad (8)$$

Для решения нелинейных уравнений используем метод `optimize.root` из библиотеки `scipy`, который находит корень векторной функции. Параметрами данного метода яв-

ляются: fun - вектор функция, корень которой необходимо найти, w - первоначальное предположение.

Листинг 3. Реализация неявного метода Эйлера.

```

1 def implicit_euler(x_0, t_n, f, h, consts):
2     # x_0 - initial conditions v(0) = c, u(0) = bv(0)
3     # f - function of the ODE system
4     # consts - a,b,c,d,l for a specific mode
5     t_0 = 0
6     t_nums = np.arange(t_0, t_n + h, h)
7     y = np.zeros(shape=(len(t_nums), len(x_0)))
8     y[0] = x_0
9
10    for i in range(len(t_nums) - 1):
11        w = y[i]
12        fun = lambda foo: w + h * f(foo, consts) - foo
13        sol = optimize.root(fun, w)
14        w = sol.x
15        y[i + 1] = normal(consts, w)
16
17    return t_nums, y

```

Запишем метод Рунге-Кутты 4-го порядка[1]:

$$w_0 = \alpha, \quad (9)$$

$$k_1 = hf(t_i, w_i), \quad (10)$$

$$k_2 = hf\left(t_i + \frac{h}{2}, w_i + \frac{k_1}{2}\right), \quad (11)$$

$$k_3 = hf\left(t_i + \frac{h}{2}, w_i + \frac{k_2}{2}\right), \quad (12)$$

$$k_4 = hf(t_i + h, w_i + k_3), \quad (13)$$

$$w_{i+1} = w_i + \frac{1}{6}(k_1 + 2k_2 + 2k_3 + k_4), i = 0, 1, \dots, m - 1 \quad (14)$$

Листинг 4. Реализация метода Рунге-Кутты 4-го порядка.

```

1 def runge_kutta(x_0, t_n, f, h, consts):
2     # x_0 - initial conditions v(0) = c, u(0) = bv(0)
3     # f - function of the ODE system
4     # consts - a,b,c,d,l for a specific mode
5     t_0 = 0

```

```

6  t_nums = np.arange(t_0, t_n + h, h)
7  y = np.zeros(shape=(len(t_nums), len(x_0)))
8  y[0] = x_0
9
10 for i in range(len(t_nums) - 1):
11     w = y[i]
12     k_1 = h * f(w, consts)
13     k_2 = h * f(w + k_1 / 2, consts)
14     k_3 = h * f(w + k_2 / 2, consts)
15     k_4 = h * f(w + k_3, consts)
16
17     w = w + (k_1 + 2 * k_2 + 2 * k_3 + k_4) / 6
18
19     y[i + 1] = normal(consts, w)
20
21 return t_nums, y

```

2 Нахождение и построение траекторий для каждого из реализованных методов, используя разные режимы

Рассмотрим промежуток времени $t \in [0; 300]$, используем шаг $h = 0.1$, так как при $h > 1e - 1$ optimize.root обращает график функции в константу, и параметры a , b , c , d , I , которые подгружаются из json файла, учитывая текущий режим из таблицы 1. Используем 4 графика, каждый соответствует одному из 4 режимов из таблицы 1, одна итерация осуществляет построение траекторий всех методов для одного режима. Отрисовку осуществим с помощью пакета matplotlib.pyplot.

Листинг 5. Нахождение и отрисовка траекторий для каждого реализованного метода.

```

1  if __name__ == '__main__':
2
3      h = 0.5
4      t_n = 300
5
6      t = np.linspace(0, t_n, 201)
7      fig, ax = plt.subplots(2, 2, figsize=(14, 6))
8      axes = [ax[0][0], ax[0][1], ax[1][0], ax[1][1]]
9
10     for name, current_ax in zip(BASE_CONST, axes):
11         x_0 = [BASE_CONST[name]['c'], BASE_CONST[name]['c'] *
12                BASE_CONST[name]['b']]
13         x_1, y_1 = euler(x_0, t_n, f, h, BASE_CONST[name])
14         x_2, y_2 = implicit_euler(x_0, t_n, f, h, BASE_CONST[name])
15         x_3, y_3 = runge_kutta(x_0, t_n, f, h, BASE_CONST[name])
16
17         current_ax.set_title(name, loc='left')

```



```

17     current_ax.set_ylim([-80, 40])
18     current_ax.set_xlabel(r'$t$', fontsize=16)
19     current_ax.set_ylabel(r'$v$', fontsize=16)
20     current_ax.plot(x_1, y_1[:,0], ':', label=r"Метод Эйлера", marker='o',
21                     markersize=2)
21     current_ax.plot(x_2, y_2[:,0], ':', label=r"Неявный метод Эйлера", marker='o',
22                     markersize=2)
22     current_ax.plot(x_3, y_3[:,0], ':', label=r"Метод Рунге-Куты", marker='o',
23                     markersize=2)
23
24     current_ax.grid()
25     current_ax.legend(loc=1)
26
27 plt.show()

```

Функция f в данном случае соответствует системе ОДУ 1-го порядка 1.

Листинг 6. Реализация системы ОДУ 1-го порядка 1.

```

1 def f(nums, consts):
2     # consts - a,b,c,d,l for a specific mode
3     # nums - v,u values
4     v, u = nums
5     l = consts['l']
6     current_v = 0.04 * v ** 2 + 5 * v + 140 - u + l
7     current_u = consts['a'] * (consts['b'] * v - u)
8
9     return np.asarray([current_v, current_u])

```

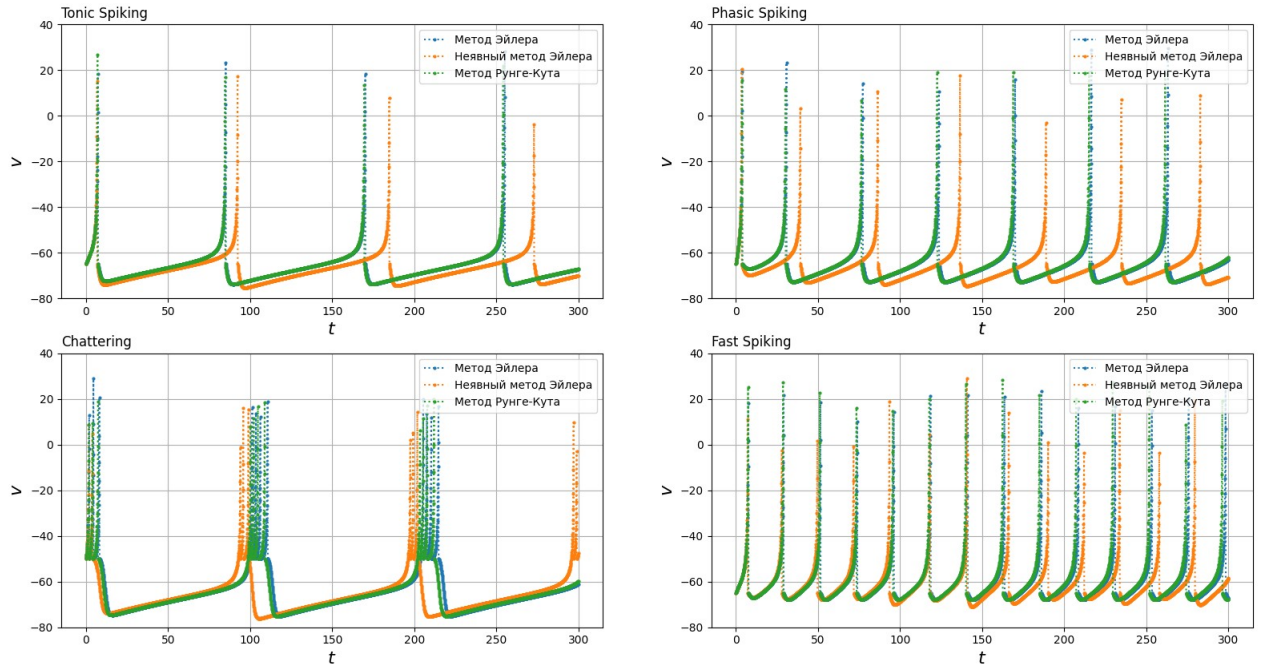


Рис. 1. Траектории для каждого из реализованных методов

3 Описание особенностей указанных режимов

Рассмотрим полученные графики 1:

Режим "Tonic Spiking" имеет низкую частоту пульсаций, это объясняется большим временем восстановления мембраны после импульса (параметр b), невысоким временным масштабом восстановления мембраны (параметр a) и недостаточно большим значением переменной восстановления к флуктуациям разности потенциалов (параметр d).

Режим "Phasic Spiking" отличается от предыдущего режима более частым проявлением пульсаций за счет большего значения переменной восстановления к флуктуациям разности потенциалов.

Режим "Chattering" имеет схожую с режимом "Tonic Spiking" частоту пульсаций, однако поведение графика в момент импульса явно отличается от других режимов, предположительно из-за значения потенциала мембраны сразу после импульса.

Режим "Fast Spiking" заметно чаще вызывает импульс нейронов, что является довольно очевидным, учитывая высокий временной масштаб для восстановления мембраны и время восстановления мембраны сразу после импульса.

4 Объяснение отличий и сходств у реализованных методов

Рассмотрим отличия реализованных методов. Явным различием является порядок точности глобальной и локальной погрешностей. Порядок точности локальной погрешности метода Эйлера - $O(n^2)$, глобальной - $O(n)$. Для неявного метода Эйлера характерен порядок точности глобальной погрешности $O(n^2)$, локальной - $O(n^3)$. Порядок точности глобальной погрешности метода Рунге-Кутты 4-го порядка - $O(n^4)$, локальной - $O(n^5)$.

Учитывая полученные порядки точности, можно говорить о том, что метод Рунге-Кутты 4-го порядка является оптимальным вариантом в плане точности для решения данной задачи, чтобы понять, будет ли данный метод эффективен по времени, осуществим замер времени выполнения функции. Для этого был написан декоратор `benchmark`, который принимает функцию, запускает метод `time.time()`, результат которого записывается в переменную `start`, после чего исполняется переданная функция, далее повторно вызывается `time.time()`, результат которого записывается в переменную `end`, в итоге время выполнения функции считается как разность `end - start`

Листинг 7. Реализация декоратора для замера времени работы функции.

```
1 def benchmark(func):
2     # func - method for measuring
3     import time
4
5     def wrapper(*args, **kwargs):
6         start = time.time()
7         res = func(*args, **kwargs)
8         end = time.time()
9         print(f'{func.__name__}: Время выполнения: {end - start} секунд.')
10
11     return res
12
13 return wrapper
```

Тогда рассмотрим время выполнения функция для одного из режимов (таблица 1). Для режима "Tonic Spiking" получаем следующие результаты:

Euler: Время выполнения: 0.02200174331665039 секунд.

Implicit_euler: Время выполнения: 0.2710258960723877 секунд.

Runge_Kutta: Время выполнения: 0.18801283836364746 секунд.

Из чего можно сделать вывод, что несмотря на точность метода Рунге-Кутты 4-го порядка, метод Эйлера для данного набора данных работает быстрее.

5 Интегрирование во времени до 1000 мс нейронной сети с помощью метода Эйлера, вывод на экран импульсов всех нейронов

Нейронная сеть включает в себя 1000 нейронов, 800 из которых - возбуждающие, 200 - тормозные. Моделирование нейронной сети происходит с помощью полного графа. Используем матрицу смежности для описания значения токов, передаваемых от нейрона к нейрону, т.е. при одиночном импульсе внешнего тока происходит спайк, соответственно при подаче на нейрон постоянного внешнего тока происходит генерация последовательности спайков с определенной частотой.

Для реализации поставленной задачи необходимо сгенерировать матрицу смежности W , векторы, которые хранят параметры нейронов соответствующего типа. Первые 800 элементов вектора/матрицы соответствуют возбуждающим нейронам, оставшиеся 200 - тормозным. Необходимо вывести на экран импульсы нейронов как функцию времени. Осуществим цикл по времени, каждую итерацию происходит решение 2000 ОДУ 1-го порядка, при этом сохраняются позиции нейронов, в которых возник импульс в данный момент времени, данные по этим нейронам (момент времени, в который возник импульс и номер нейрона) записываются в соответствующий список. В конце итерации необходимо осуществить метод Эйлера, учитывая значение шага h , в данном случае $h=0.5$, происходит $\frac{1}{h} = 2$ итерации метода Эйлера в единицу времени. Построение графика выполним с помощью пакета `matplotlib`.

Листинг 8. Интегрирование во времени до 1000мс с помощью метода Эйлера.

```
1 def neural_network():
2
3     t_n = 1000
4     n = 1000
5     h = 0.5
6     n_b = int(0.2 * n)
7     n_e = int(0.8 * n)
8
9     W, a, b, c, d = get_consts(n, n_e, n_b)
10
11     v = -65.0 * np.ones(n)
12     u = v * b
13
14     ex_t_plot = []
15     br_t_plot = []
16
17     ex_neuron_id = []
18     br_neuron_id = []
19
20     steps_in_t = int(1 / h)
21
22     l = np.hstack((5 * np.random.default_rng().random(n_e), 2 *
```

```

    np.random.default_rng().random(n_b)))
23
24 for t in range(t_n):
25     impulse = v >= 30
26
27     for i, is_impulse in enumerate(impulse):
28         if is_impulse:
29             if i > 799:
30                 br_t_plot.append(t)
31                 br_neuron_id.append(i)
32             else:
33                 ex_t_plot.append(t)
34                 ex_neuron_id.append(i)
35
36     v[impulse] = c[impulse]
37     u[impulse] = u[impulse] + d[impulse]
38
39     l_new = l.copy()
40     l_new += np.sum(W[:, impulse], axis=1)
41
42     for i in range(steps_in_t):
43         new_v = v + h * (0.04 * v ** 2 + 5 * v + 140 - u + l)
44         new_u = u + h * a * (b * v - u)
45         v = new_v
46         u = new_u

```

Листинг 9. Генерация матрицы смежности и векторов соответствующих констант.

```

1 def get_consts(n, n_e, n_b):
2     # n - number of neurons
3     # n_e - number of excitatory neurons
4     # n_b - number of braking neurons
5     W = np.hstack((np.random.default_rng().random((n, n_e)) / 2, -
6                     np.random.default_rng().random((n, n_b))))
7     a = np.hstack((0.02 * np.ones(n_e), 0.02 + 0.08 *
8                     np.random.default_rng().random(n_b)))
9     b = np.hstack((0.2 * np.ones(n_e), 0.25 - 0.05 *
10                     np.random.default_rng().random(n_b)))
11     c = np.hstack((-65 + 15 * np.random.default_rng().random(n_e) ** 2, -65 *
12                     np.ones(n_b)))
13     d = np.hstack((8 - 6 * np.random.default_rng().random(n_e) ** 2, 2 * np.ones(n_b)))
14
15     return W, a, b, c, d

```

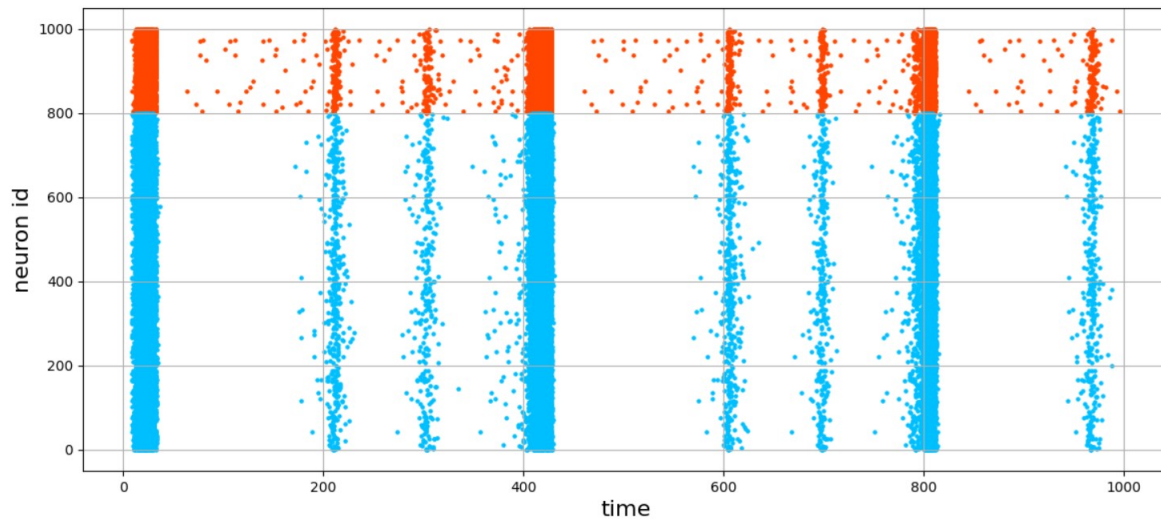


Рис. 2. Импульсы всех нейронов.

Заметим, что колебания не являются полностью синхронными, все зависит от сгенерированных параметров, примерная частота полученных колебаний 7-10 Гц.

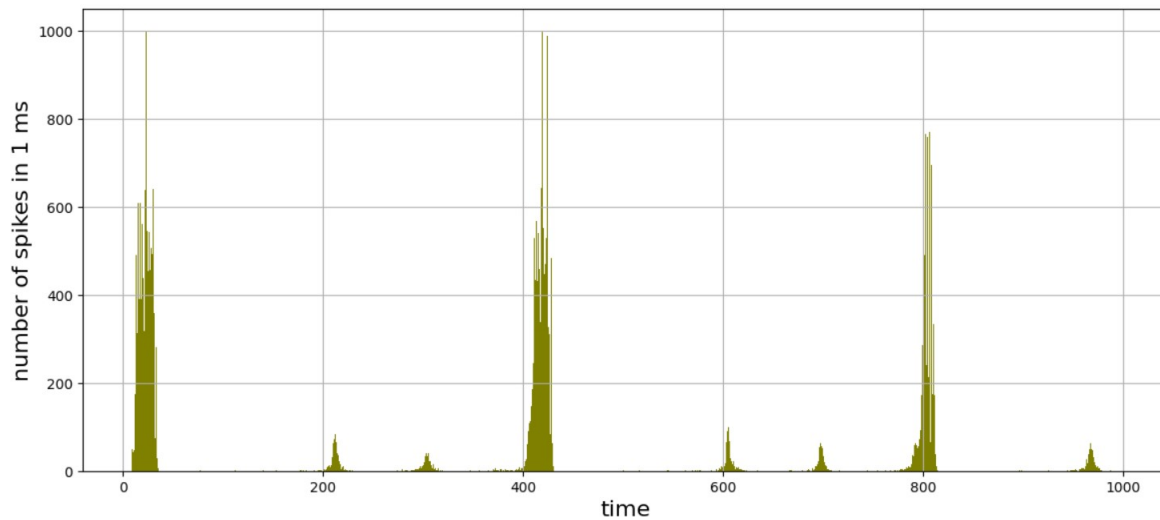


Рис. 3. Активность нейронной сети.

6 Заключение

1. Реализованы численные методы решения задачи Коши. Выявлено, что оптимальным решением является метод Рунге-Кутты 4-го порядка за счет порядка по-

грешности, однако метод Эйлера явно является интуитивно более простым и для задач данного типа проявляет хорошее соотношение степени точности и времени вычисления.

2. Проведено моделирование нейронной сети, выявлены колебания частотой $\approx 7-10$ Гц.

Список использованных источников

1. Першин А.Ю. Лекции по курсу «Вычислительная математика». Москва, 2018-2021. С. 140.
2. Веб-ресурс(https://slemeshevsky.github.io/num-mmf/ode/html/._ode-FlatUI001.html)

Выходные данные

Кутепов Н.С.. Отчет о выполнении лабораторной работы по дисциплине «Вычислительная математика». [Электронный ресурс] — Москва: 2021. — 15 с. URL: <https://sa2systems.ru:88> (система контроля версий кафедры РК6)

Постановка:



ассистент кафедры РК-6, PhD А.Ю. Першин

Решение и вёрстка:



студент группы РК6-55Б, Кутепов Н.С.

2021, осенний семестр